

Zu Kapitel 8: Pfadintegrale

8.1) Motivation Zeitentwicklungsoperator $U(t) = e^{-\frac{i}{\hbar} \int H dt}$

s. Kap¹

$$\langle \Psi(t_f) \rangle = \underbrace{U(t_f - t_i)}_{\equiv U(t_f, t_i)} |\Psi(t_i)\rangle \quad t_f > t_i$$

Oder in Ortsdarstellung

$$U(\vec{r}_f, t_f; \vec{r}_i, t_i) \equiv \langle \vec{r}_f | U(t_f, t_i) | \vec{r}_i \rangle$$

Nun gilt: $U(t_f, t_i) = \uparrow U(t_f, t) \uparrow U(t, t_i)$ $t_f > t > t_i$

Oder in Ortsdarstellung: $\langle \vec{r}_f | \int d^3r | \vec{r} \rangle \times \langle \vec{r} | \vec{r}_i \rangle$

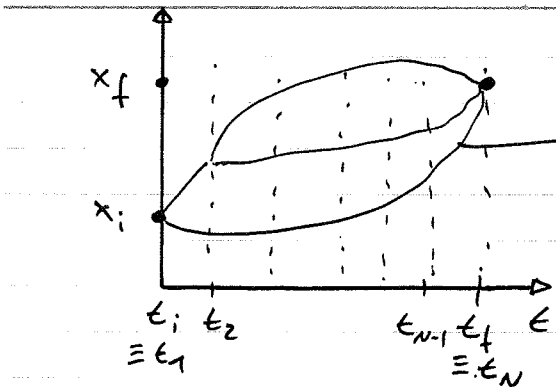
$$U(\vec{r}_f, t_f; \vec{r}_i, t_i) = \int d^3r \quad U(\vec{r}_f, t_f; \vec{r}, t) \quad U(\vec{r}, t; \vec{r}_i, t_i)$$

Wiederholte Anwendung:

$$U(\vec{r}_f, t_f; \vec{r}_i, t_i) = \int d^3r_{N-1} \cdots \int d^3r_2 \quad U(\vec{r}_f, t_f; \vec{r}_{N-1}, t_{N-1}) \\ \times U(\vec{r}_{N-1}, t_{N-1}; \vec{r}_{N-2}, t_{N-2}) \\ \times \cdots \times U(\vec{r}_2, t_2; \vec{r}_i, t_i)$$

$t_f = t_N$
 $t_i = t_1$

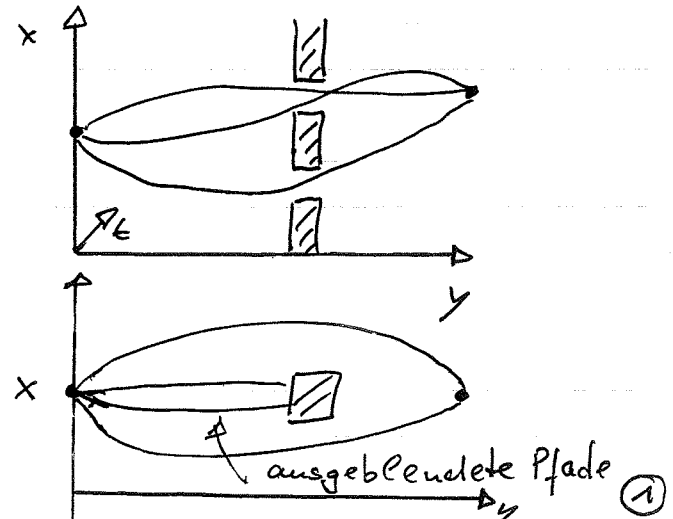
Skizze Pfadintegrale in einer Dimension $\vec{r} \rightarrow x$



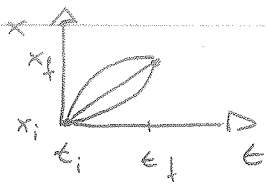
natürliche Erklärung für
Doppelspaltenexp. / Beugungsexp.

Diskretisierung für
Berechnung

Zerschneiden der QM
Trajektorien in kleine
klassische Abschnitte

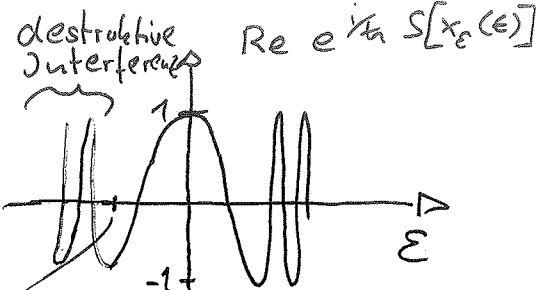
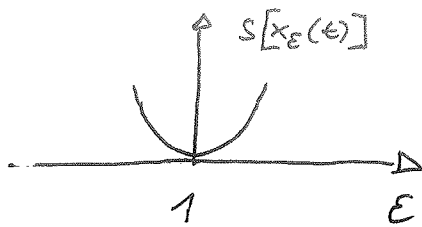


Skizze zum klassischen Grenzfall 8.2)

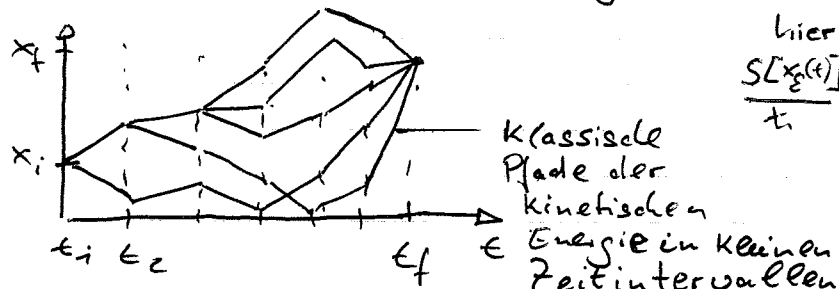


$$\text{Pfad} \quad x(\epsilon) = x_i + (x_f - x_i) \frac{(t - t_i)}{\epsilon} \quad \text{s. Übung}$$

$$x_{\text{klass}}(\epsilon) = x_{\text{klass}}(\epsilon) = x_i + \frac{x_f - x_i}{t_f - t_i} \epsilon - \epsilon_i$$



Skizze zur tatsächlichen Berechnung 8.3)



$$\text{Hier } \frac{S[x_e(\epsilon)]}{\epsilon} = \frac{S_{\text{klass}}}{\epsilon} = \frac{1}{m} \text{ konstruktive Interferenz}$$

8.4) Äquivalenz Feynman-Pfadintegral und S.-Glg.

S.-Glg: Differentialform

Pfadintegral: Integralform

Betrachten Pfadintegral für infinitesimalen Zeitschritt $\Delta \epsilon$

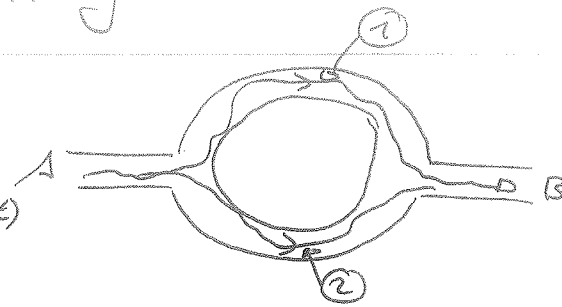
$$\begin{aligned}
 \Rightarrow \Psi(\vec{r}, t + \Delta \epsilon) &= \int d^3 r' V(\vec{r}, t + \Delta \epsilon; \vec{r}', t) \Psi(\vec{r}', t) \\
 &= A \underbrace{\int d^3 r'}_{\left(\frac{m}{2\pi\hbar i \Delta \epsilon}\right)^{1/2}} e^{i \frac{m}{\hbar} \Delta \epsilon \left(\frac{(\vec{r} - \vec{r}')^2}{2 \Delta \epsilon^2} - V(\vec{r}) \right)} \Psi(\vec{r}', t) \\
 &\stackrel{\Delta \vec{r} = \vec{r}' - \vec{r}}{=} A \int d^3 r e^{i \frac{m}{\hbar} \Delta t \frac{(\Delta \vec{r})^2}{2 \Delta \epsilon^2} \left(1 - \frac{i}{\hbar} \Delta t V(\vec{r}) \right)} \\
 &\quad \times \left\{ \Psi(\vec{r}', t) + \Delta \vec{r} \frac{\partial}{\partial \vec{r}} \Psi(\vec{r}', t) + \frac{1}{2} (\Delta \vec{r})^2 \frac{\partial^2}{\partial \vec{r}^2} \Psi(\vec{r}', t) \right\} \\
 &\quad + \mathcal{O}(\Delta \vec{r}^3) + \mathcal{O}(\Delta \epsilon^2) \\
 &= \left[1 - \frac{i}{\hbar} \Delta \epsilon V(\vec{r}) \right] \Psi(\vec{r}', t) + \frac{1}{2} i \frac{m}{\hbar} \Delta \epsilon \frac{\partial^2}{\partial \vec{r}^2} \Psi(\vec{r}', t) \\
 \text{1. lin/}\Delta \epsilon \quad \Leftrightarrow \quad & \text{S.-Glg} \quad i \hbar \left[\Psi(\vec{r}, t + \Delta \epsilon) - \Psi(\vec{r}, t) \right] / \Delta \epsilon = i \hbar \frac{\partial}{\partial \epsilon} \Psi(\vec{r}, t) \quad (2)
 \end{aligned}$$

8.5) Anwendung: Aharonov-Bohm-Ring

Leitfähigkeit $\rightarrow |\langle B, \epsilon_B | A \epsilon_A \rangle|^2$

$$\langle B, \epsilon_B | A \epsilon_A \rangle = \sum_{\text{Pfade}} e^{i \frac{e}{\hbar c} \int_{\epsilon_A}^{\epsilon_B} dL(\vec{r}, \vec{p}, t)}$$

Pfade
 $\times(\epsilon) = A$
 $\times(\epsilon_B) = B$



$$\begin{aligned} L(\vec{r}, \vec{p}, \epsilon) &= \vec{P} \cdot \dot{\vec{r}} - H(\vec{P}, \vec{r}) & H(\vec{P}, \vec{r}) &= \frac{(\vec{P} - \frac{e}{c} \vec{A})^2}{2m\hbar} + V(\vec{r}) \\ &= \frac{e}{c} \vec{A} \cdot \dot{\vec{r}} + \underbrace{L_0(\vec{r}, \vec{p}, \epsilon)}_{\vec{A} \text{ unabhängig}} & \vec{P} &= m \star \frac{\partial}{\partial \vec{r}} + \frac{e}{c} \vec{A} \end{aligned}$$

$$= D \langle B, \epsilon_B | A \epsilon_A \rangle = \sum_{\text{Pfade}} e^{i \frac{e}{\hbar c} \int_{\epsilon_A}^{\epsilon_B} d\epsilon \vec{A} \cdot \dot{\vec{r}}} e^{i \frac{e}{\hbar c} \int_{\epsilon_A}^{\epsilon_B} d\epsilon L_0(\vec{r}, \vec{p}, \epsilon)}$$

Phasendifferenz zwischen Pfad ① und Pfad ②

$$e^{i \frac{e}{\hbar c} (\int_2 \vec{A} \cdot d\vec{r} - \int_1 \vec{A} \cdot d\vec{r})} e^{i \frac{e}{\hbar c} (\int_2 dL_0(\vec{r}, \vec{p}, \epsilon) - \int_1 dL_0(\vec{r}, \vec{p}, \epsilon))} = e^{i \frac{e}{\hbar c} \oint d\vec{r} \vec{A}} \cdot e^{i \chi_{12}}$$

$$\oint d\vec{r} \vec{A} = \underbrace{\int_{\text{Fläche}} d\vec{F} \cdot \vec{B}}_{\text{Fläche}} = \int d\vec{F} \cdot \vec{B} = \phi \quad \text{magnetischer Fluss: Fläche} \times \text{Feld}$$

Alle Pfade sind sehr ähnlich zu ① oder ②

$$= D \langle B, \epsilon_B, A \epsilon_B \rangle = \underbrace{e^{i \frac{e}{\hbar c} \int_{\epsilon_A}^{\epsilon_B} d\epsilon L(\vec{r}_1, \vec{r}_1)}}_{\text{Pfad ①}} (1 + e^{i \frac{2\pi}{\Phi_0} \phi} e^{i \chi_{12}})$$

$$\Phi_0 = \frac{hc}{2e} \quad \text{magnetisches Flussquantum}$$

Oszillationen der Leitfähigkeit bei wachsendem ϕ , mit Periode $2\Phi_0$.

(3)